

砂岩・礫岩の挟み), 玄武岩～安山岩質溶岩が累重し, これら3層の上下関係はいずれも不整合である。

第四系は, 礫, 砂及び崖錐堆積物からなる。

本地域には変質帶・鉱化帶は存在しない。

空中磁気の中間強度帯及び中波長低異常域周縁部の重なる付近には, 地域内では比較的下位の地層(上部新第三系・第四系)が分布するが, 空中磁気異常と地質構造間に明瞭な対応関係は認められない

2-16 コドバ北地域

本地域の地質図をFig. 2-2-73に, 模式地質柱状図をFig. 2-2-74にそれぞれ示した。

本地域の地質は, 新第三系中新統・鮮新統, 第四系更新統・完新統及び貫入岩類からなる。

新第三系中新統・鮮新統は, 下部から含礫凝灰岩, 細粒凝灰岩・火山灰, 溶結凝灰岩・軽石凝灰岩の順に累重する流紋岩質のイグニンブライトからなる。

第四系更新統・完新統は, 礫及び砂からなる。

本地域の地表は, 大部分がほぼ水平の厚い中新統イグニンブライトに覆われている。本地域の基盤は上部白亜系の安山岩質の溶岩・火碎岩で, 調査地域南方の深く解析されたビトル沢(Quebrada Vitor)流域に小規模に分布する。ここには上部白亜系を貫く石英閃緑岩の岩株が分布する。これらの上部白亜系及び石英閃緑岩は, 新第三系中新統下部の多源礫岩に不整合に覆われ, この礫岩は新第三系中新統・鮮新統のイグニンブライトに不整合に覆われる。

本調査地域には変質帶・鉱化帶は存在しない。しかし, 調査地域南方の石英閃緑岩中には, カリ変質・セリサイト化を伴う石英細脈群が発達している。

空中磁気の中間強度帯及び中波長低異常域周縁部の重なる付近に, 特有の地質構造は認められない

2-17 ティグナマール北西地域

本地域の地質図をFig. 2-2-75に, 模式地質柱状図をFig. 2-2-76に, 變質鉱物分布図をFig. 2-2-77に, 岩石地化学異常分布図をFig. 2-2-78にそれぞれ示した。

調査地域の北東方には, 上部白亜系・下部第三系が分布し, 安山岩質～流紋岩質の溶岩・火碎岩及び陸上堆積物の挟みからなる。

調査地域の地質は, 新第三系及び上部新第三系・第四系からなる。

新第三系は, 中新統・鮮新統のイグニンブライト(流紋岩質溶結凝灰岩・軽石凝灰岩)からなり, 上部新第三系・第四系に不整合に覆われる。

上部新第三系・第四系は, 主として珪長質軽石凝灰岩からなる下位層と, 玄武岩質～安山岩質の溶岩からなる上位層からなる。下位層は, 玄武岩質～安山岩質溶岩・礫岩・流紋岩の各薄層を挟む。

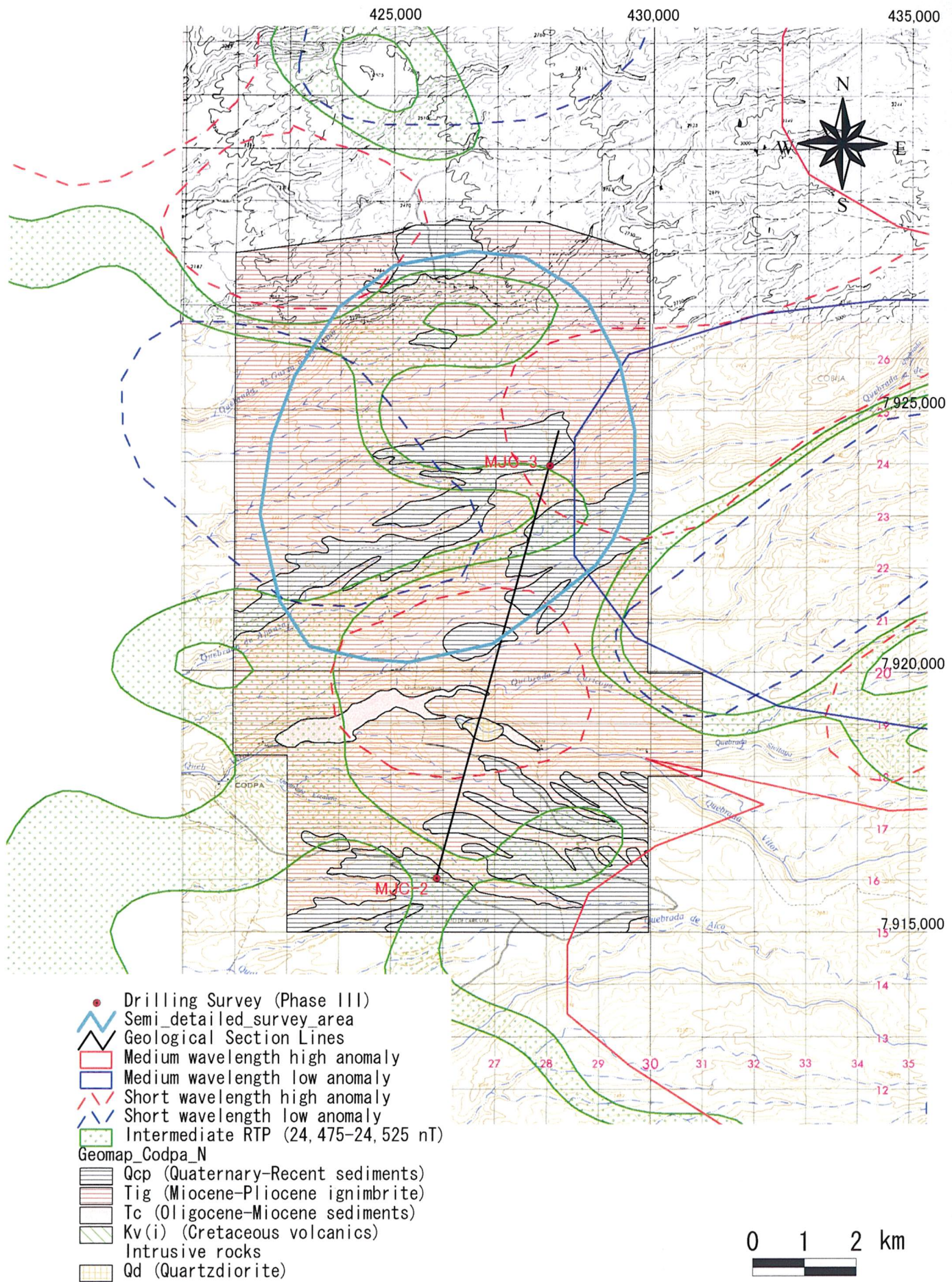
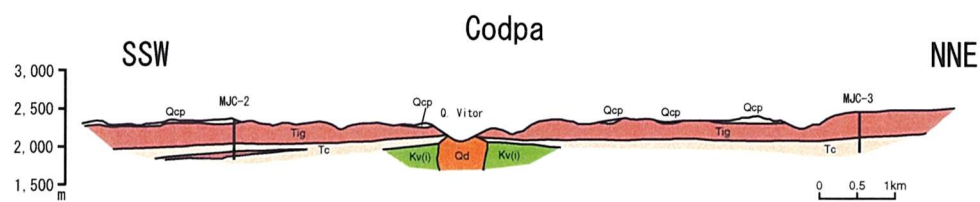


Fig. 2-2-73 Geological Map of the Area to the North of Codpa



Geologic Time		Columnar Section	Lithology	Intrusives	Mineralization
CENOZOIC	QUATERNARY ~ PLEISTOCENE	HOLOCENE ~ PLEISTOCENE	Qcp	Gravel, sand	
	TERTIARY	PLIOCENE ~ MIocene	Tig	Welded tuff Pumice tuff Fine tuff Pebbly tuff	
		MIocene	Tc	Conglomerate	
		PALEOGENE			
	CRETACEOUS	LATE	Kv(i) Qd Kv(i)	Andesitic lava/ volcaniclastics	Quartz diorite (Qd)

Fig.2-2-74 Schematic Stratigraphic Columns and Profiles of the Area to the North of Codpa